

### III-51 振動時の乾燥砂のセン断強さについて

東北大學工學部 正員 河上房義

工學部 正員 柳沢榮司

鹿島建設技研 正員○阿部 裕

東北大學大學院 學生員 河合秀次

#### 1. 緒言

一般に粒状体のセン断強さが振動時に減少することが知られているが、振動中の粒状体の性質を決定する機構についてはまだ研究が進んでいない。ここでは、粒状体として粒径の異なるガラス球、形状の異なるカーボランダム、乾燥砂を用いて振動時のセン断強さの変化について調べる。

#### 2. 実験装置(図-1)

土中で振動波が伝わる場合に、土体の各要素は一連の複雑な運動をする。この運動成分は、体積歪、セン断歪、回転、位置の変化である。ある振動条件における各成分の大きさは、振動波の種類、土の特性など種々の要素によつて決定されるが、ある特定の振動方法によつて現場の振動状態をシミュレートすることはできない。ここでは振動台で振動させるこによつて水平振動を与えるが、この条件下では試料箱境界の運動が全く複雑であるが、内部では土粒子に働く慣性力は、動的子体積歪とセン断歪を引き起しうる。上に述べた条件は、振動台上のせた直接セン断試験機に試料をつめ、振幅0.5mm、振動数0～30Hzに変化させて作り出した。

尚、セン断箱(ステンレス製)の直径は50mm、試料の厚さは2mm、歪速度は1%/sであり、用いた試料の性質を表-1、粒度分布曲線を図-2に示した。

試料	粒径	比重	初期間隙比	Angularity*
ガラス球	1 0.1mm	2.50	0.62	0
	2 0.3	2.50	0.68	0
	3 0.5	2.50	0.67	0
	4 1.0	2.50	0.67	0
	5 2.0	2.50	0.65	0
	6 3.0	2.50	0.69	0
C 砂	A $d_{50}=1.03$	3.20	0.84	1534
	B $d_{50}=0.65$	3.20	0.76	1076
	C $d_{50}=0.58$	3.20	0.73	665
閑上砂	I $d_{50}=0.42$	2.71	0.72	653
	II $d_{50}=0.26$	2.71	0.87	476

表-1 試料の性質

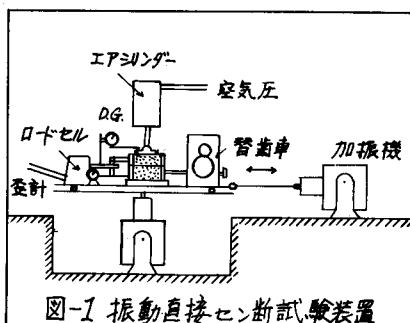


図-1 振動直接セン断試験装置

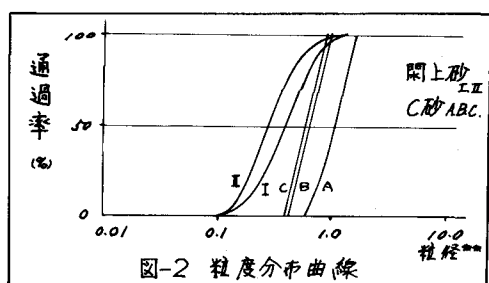


図-2 粒度分布曲線

### 3. 実験結果

#### 3-1 静的セン断と振動時における応力・歪曲線

図-4に示す様に、いずれの場合(鉛直圧 $20\sim40\text{kg/cm}^2$ )も応力比 $\sigma/\sigma_0$ と水平変位 $\epsilon$ の初期勾配 $f$ 、加速度比が増加するにつれて減少する。つまり振動によりセン断弾性係数は減少する。また、 $\epsilon_{max}$ となるセン断歪の加速度が大きくなるにつれて小さくなってしまう、鉛直変位量も減少し、より早く限界間隙比に近づく。しかしながら図-5に示す様に鉛直圧が減少して0.5倍になると、振動時におけるセン断弾性係数の方が大きい値を示す。この原因は、拘束圧が小さくなるとセン断時に振動による繰り返しよりも間隙がゆるむ現象が卓越し静的セン断の場合より大きな膨張を示す事と思われる。

#### 3-2 内部摩擦係数と加速度比の関係

Barkanは砂の内部摩擦係数と加速度比の間の次式の様な関係が成立すると言えど。

$$\tan \phi = \tan \phi_{min} + (\tan \phi_{at} - \tan \phi_{min}) \cdot e^{-\beta t} \quad \text{t: 加速度比}$$

本実験でも上式の様な関係が成立すると思われるが、 $\beta$ の値の意味がはつきりしなかった。さらに振動時における内部摩擦の各成分の変化については、図-6に示す様に粒状体の種類によりて体積変化率は一定であり、摩擦角だけが減少していく。この理由としては、振動エネルギーがある値以下であればピーク強度時における構造が振動時と静的な場合似かよ、マリス等と考えられる。しかしながら振動エネルギーが大きくなると、粒子構造が変化し粒子間のかみ合せが急激に減少( $>0.5\frac{\sigma}{\sigma_0}$ )の値を減少していくものと思われる。

#### 3-3 振動時のセン断強さに対する表面摩擦の影響

表面をよくみがいた摩擦の大きいガラス球(A)と表面に粉をぬった摩擦の小さいガラス球(B)をセン断試験した結果を図-7に示すが、これによるとA球では、(振動時における残留強度/静的試験における残留強度)の値が、かなり大きいのに比してB球では、ほとんど0に等しい。この原因は、表面摩擦が小さい程振動時に粒子間のかみ合せがゆるみやすく、粒状流体としての力学的状態がしやすくなる事と思われる。

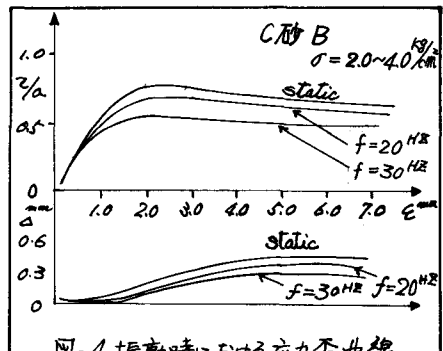


図-4 振動時における応力・歪曲線

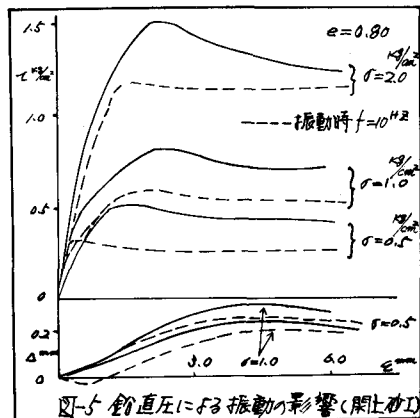


図-5 鉛直圧にfの振動の影響(開口砂)

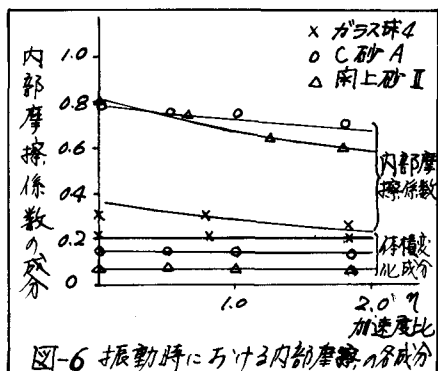


図-6 振動時にかけた内部摩擦の各成分

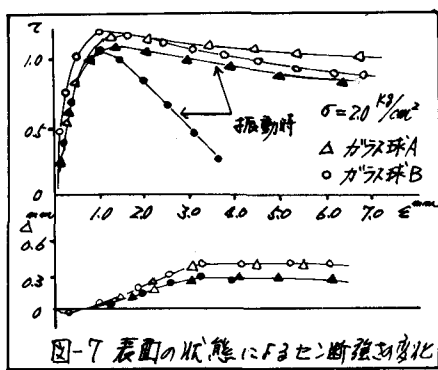


図-7 表面の状態によるセン断強さ変化

### 3-4 粒径と内部摩擦係数の関係

粒径の異なるガラス球による実験結果を図-8に示すが、これによると粒径が大きくなるにつれ内部摩擦係数は増加していく。これは、ある限られた大きさのセン断箱内では、粒径の小さい場合にはセン断時に粒子の乗り上がりが容易であるのに比して、粒径が大きくなるにつれ粒子相互の乗りこみが不可能になつていく為と考えられる。

### 3-5 粒径の相違による振動の効果

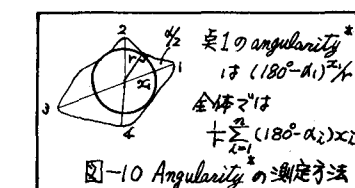
実験結果図-9に示す様に、粒径が大きくなるにつれて、ほぼ直線的に振動の効果（静的な内部摩擦係数に対する振動中に減少する内部摩擦係数の割合）が大きくなる。この理由としては、粒径が小さい程安定な粒子構造をとりやすく、粒径が大きくなるにつれて、粒子構造が不安定なものとなる、という為と思われるが、実際の地盤の様に境界が非常に大きい場合には、粒径による振動の影響は小なりと考えられる。

### 3-6 セン断強さに及ぼす粒子形状の影響

粒度組成が同一で、平均径のはば等しく、angularity\*（ここでは用いた angularity\* とは、任意抽出した数十個の粒子について、鏡頭微鏡写真にとり図-10の様にして求めたもの。）の非常に異なる2種の砂についてセン断試験をした結果を表-3に示してあるが、これによると全てについて角ばつていける材料の方が大きな値を示している。これは、丸い方のより角ばつていける粒状体の方が、かみ合せの抵抗が大きい為と思われる。また、振動の効果については、はっきりした違いはなかったが、この原因としてセン断面での粒子の駆向性などが考えられる。

項目	種類	CAB日	CABC
セン断強さ( $\text{kg/cm}^2$ )		1.50	1.38
Dilatancy量(mm)		0.44	0.38
初期セン断弹性係数		100	63

表-3  $\sigma=20 \text{ kg/cm}^2$  の場合



## 4. 粒状体の応力・歪曲線について

ある1つの系に力が働き変形が起こると同時に、熱の出入りがあるとする。

$$P \cdot dV = dU + dQ \quad (1)$$

P: 壓力  $dV$ : 密積変化  $dU$ : 内部エネルギーの増高  $dQ$ : 外からの熱量

上式Tエネルギー保存則であり、粒状体の変形について考えると、 $dU$ は主として弾性変形によるものであり、直接セン断の際に起こるような変形を考えると弾性変形は無視できる。一方 $dQ$ は熱の

出入りによるもので、粒子のこすり合ひなどによく発生する熱に由来するものである。そこで(1)式を直接せん断の場合に適用するに次式が成立する。

$$2A \cdot \Delta x - \sigma A \cdot \Delta y = \mu \cdot \sigma A \cdot \Delta x \quad (2)$$

$$A: \text{試料断面積} \quad \mu = \tan \delta$$

ここで無次元変位パラメータ  $\zeta = z/z_0 = z/h_s$  を導入すると ( $h_s$ : 試料厚),  $A \cdot \Delta x = V_s/h_s \cdot \Delta z = V_s \cdot \Delta \zeta$ ,  $A \cdot \Delta y = \Delta V = V_s \cdot \Delta e \quad \}$

$$(3) \text{式を(2)式へ代入して極限をとる}, \quad (3)$$

$$\zeta/\sigma = \mu + de/d\zeta \quad (4)$$

さらに間隙比が次式の様に変化すると仮定して(図-3)

$$e - e_t / e_0 - e_t = (1 + g\zeta) \cdot e^{-P\zeta} \equiv F(\zeta) \quad (5)$$

次にせん断応力と歪の関係について考察を進める。(5)式をZの微分すると,  $D_0 \cdot F'(\zeta) = de/d\zeta$  たゞし  $D_0 = e_0 - e_t$   $(6)$

(6)式を(4)式へ代入して,

$$\zeta/\sigma = \mu + D_0 \cdot F'(\zeta) = \mu + D_0 (1 - P - Pg\zeta) \cdot e^{-P\zeta} \quad (7)$$

試験開始時では,  $\zeta = \zeta_0 = 0$  で(7)式より

$$\mu = D_0 (P - g) \quad (8)$$

ここで粘着性のない粒状体では, どんな物質でも  $P$  は一定と考える。  
実験結果より係数  $P, g, \mu$  を求めた結果を表-2に示す。

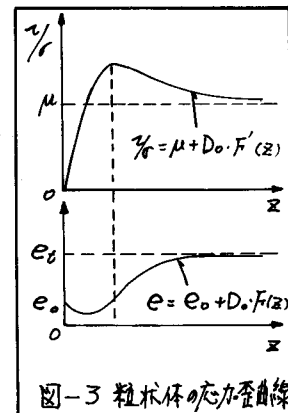


図-3 粒状体の応力歪曲線

材 料	$g$	$\mu$
ガラス球	1 45.3	0.503
	3 53.7	0.676
	4 67.5	0.725
	5 180.0	0.865
	6 1	0.875
	A 57.5	0.707
C砂	B 21.4	0.660
	C 28.7	0.587
	I 46.2	0.550
間上砂	I 57.2	0.673

$P = 7.4 \quad \text{表-2}$

## 5. あとがき

粒状体に関する振動直接せん断試験を行った結果, 片振幅  $0.5\text{mm}$ , 振動数  $0\sim30\text{Hz}$ , 割直圧  $1.0\sim40\text{kN/m}^2$  の範囲では, 振動により初期せん断弾性係数は減少し, より早く限界間隙比に近づくこと, 振動時ににおける内部摩擦の変化については, 体積変化成分は一定であり, 摩擦成分だけが減少すること, angularityの大きさ, 材料ほど表面摩擦が大きく振動時にせん断強さの減少が小さいこと, 等が分った。なお, 実際の地盤では, 形状; 粒径のはかに粘着力, 間隙水圧等の要素についても考慮を払う必要があり, 粒状体の変形機構を決定する方法は非常に難しいと思われる。さらにせん断箱の大きさによる結果への大きな影響を及ぼすと考えられており, この辺について装置を改良して実験を進める必要を感じている。

## 参考文献

1. 最上武雄 土質力学
2. C.P.Wroth A stress strain relationship for the shearing behavior of a sand Geotech. 1965
3. Barkan Dynamics of bases and foundations